

ELEMENTOS DE ANÁLISIS PARA COMPUTACIÓN E INFORMÁTICA

EXAMEN FINAL

Martín Villanueva

27 de Mayo 2016

TAREAS

TAREA 1. Sean (X, σ) y (X, σ') espacios métricos y *quasimétricos* respectivamente. Denotemos a la topología generada/inducida por σ por:

$$\mathcal{F} = \{A \subset X : A \text{ es un abierto, i.e: } \forall x \in A, \exists \delta > 0 : B_\sigma(x, \delta) \subset A\}$$

donde adicionalmente sabemos que una base para esta topología es:

$$B = \{B_\sigma(x, \sigma) : x \in X, \delta \in \mathbb{R}_0^+\}$$

y también consideremos la siguiente *posible* base para dicha topología:

$$B' = \{B_{\sigma'}(x, \delta) : x \in X, \delta \in \mathbb{R}_0^+ \cup \{\infty\}\}$$

se puede ver claramente que $B \subset B'$, pues B' contiene los mismos miembros que B , más las bolas de radio infinito (*que abarcan todo el espacio!*). Además como B es una base para \mathcal{F} , cualquier abierto $\in \mathcal{F}$ puede escribirse como una reunión de miembros de B .

Sea \mathcal{A} un conjunto indexador (no necesariamente contable, ni finito), entonces cualquier reunión de bolas $\bigcup_{\alpha \in \mathcal{A}} B_\alpha$ ($B_\alpha \in B$), puede formarse también con miembros de B' , pues $B \subset B'$. Consideremos ahora reuniones sobre B' . Si entre los miembros no hay bolas de radio infinito, el resultado es análogo al anterior. Consideremos entonces el caso de una reunión con al menos una bola de radio infinito $B_{\sigma'}(x_0, \infty)$:

$$\bigcup_{\alpha \in \mathcal{A}} B_\alpha \ (B_\alpha \in B') = B_{\sigma'}(x_0, \infty)$$

tal resultado puede obtenerse por reuniones de miembros en B como sigue:

$$\bigcup_{\delta > 0} B_\sigma(x_0, \delta)$$

Luego, hemos probado que cada reunión de miembros en una base, puede formarse con los miembros de la otra (y viceversa). Por lo tanto ambas son bases de \mathcal{F} , y entonces σ y σ' generan/inducen la misma topología.

TAREA 2. Se definen (S, σ) un espacio métrico, el conjunto $E \neq \emptyset$, el conjunto de funciones $\mathcal{F}(E, S) = \{f : E \rightarrow S\}$, y la aplicación:

$$\Sigma(f, g) = \sup_{t \in E} \sigma(f(t), g(t)), \quad \text{con } f, g \in \mathcal{F}(E, S),$$

donde se quiere probar que $(\mathcal{F}(E, S), \Sigma)$ es un espacio *quasimétrico*. Ya que $\sigma(f(t), g(t))$ ($\forall t \in E$) puede no estar acotado superiormente, entonces $\Sigma(f, g)$ puede ser infinita. Se verifica que Σ cumple los axiomas usuales para una métrica, para $f, g, h \in \mathcal{F}(E, S)$:

1. $(\Sigma(f, g) \geq 0)$. Se sigue directamente desde el codominio de $\sigma : S \times S \rightarrow \mathbb{R}_0^+$.
2. $(\Sigma(f, g) = 0 \leftrightarrow f = g)$. Como $\Sigma(f, g) = 0 \leftrightarrow \sup_{t \in E} \sigma(f(t), g(t)) = 0$, por la definición de supremo esto es equivalente a $\sigma(f(t), g(t)) \leq 0$. Ya que σ es una métrica de S , la única posibilidad es que $\sigma(f(t), g(t)) = 0 \leftrightarrow f(t) = g(t)$.

3. $(\Sigma(f, g) = \Sigma(g, f))$. Dada la simetría de la métrica σ , entonces:

$$\Sigma(f, g) = \sup_{t \in E} \sigma(f(t), g(t)) = \sup_{t \in E} \sigma(g(t), f(t)) = \Sigma(g, f).$$

4. $(\Sigma(f, g) \leq \Sigma(f, h) + \Sigma(h, g))$. Si se fija un $t_0 \in E$, luego para $f(t_0), g(t_0), h(t_0) \in S$ se cumple:

$$\sigma(f(t_0), g(t_0)) \leq \sigma(f(t_0), h(t_0)) + \sigma(h(t_0), g(t_0)), \quad (1)$$

pues σ es métrica. Como (1) es válida $\forall t_0 \in E$, entonces se verifica que:

$$\sup_{t \in E} \sigma(f(t), g(t)) \leq \sup_{t \in E} \sigma(f(t), h(t)) + \sup_{t \in E} \sigma(h(t), g(t)).$$

Dado que $\Sigma : \mathcal{F}(E, S) \times \mathcal{F}(E, S) \rightarrow [0, \infty]$ y verifica los axiomas de métrica, entonces $(\mathcal{F}(E, S), \Sigma)$ es un espacio *quasi-métrico*.

TAREA 3. Demostrar que Z es cerrado en $\mathcal{F}(X, \mathbb{R})$, es equivalente a demostrar que $Y = \mathcal{F}(X, \mathbb{R}) \setminus Z$ es abierto. Para cada $\phi \in Y$ y $\delta > 0$ es posible definir las bolas abiertas:

$$B(\phi, \delta) = \left\{ \psi \in \mathcal{F}(X, \mathbb{R}) : \Sigma(\phi, \psi) = \sup_{x \in X} |\phi(x) - \psi(x)| < \delta \right\}.$$

Notar entonces lo siguiente:

$$\begin{aligned} \text{Si } \sup_{x \in X} |\phi(x) - \psi(x)| < \delta &\Leftrightarrow |\phi(x) - \psi(x)| < \delta \quad \forall x \in X \\ &\Leftrightarrow \phi(x) - \delta < \psi(x) < \phi(x) + \delta \quad \forall x \in X. \end{aligned}$$

Si se fija x en la última expresión, y se toma un $y \in X$ (también fijo) tal que $0 < d(x, y) < \phi(x) - \psi(y)$, entonces se puede definir $\delta := \delta_{x,y} = \phi(x) - \psi(y) - d(x, y)$ el cual claramente es positivo, pero:

$$\phi(x) - \delta = \phi(x) - (\phi(x) - \psi(y) - d(x, y)) = d(x, y) + \psi(y) < \psi(x), \quad (2)$$

donde (2) es válido para todo $x, y \in X$ (fijos pero arbitrarios) que cumplan $0 < d(x, y) < \phi(x) - \psi(y)$. Dado que no se satisface $\psi(x) - \psi(y) \leq d(x, y)$, entonces $\psi \notin Z$ y por tanto $\psi \in Y$. Además, puesto que:

$$\forall \phi \in Y, \exists \delta = \delta_{x,y} = \phi(x) - \psi(y) - d(x, y), \text{ con } 0 < d(x, y) < \phi(x) + \psi(y), \text{ tal que } B(\phi, \delta) \in Y,$$

se concluye que Y es abierto, y por tanto Z es cerrado.

TAREA 4. Veamos cada punto separadamente:

1. $\int_{\mathbb{R}} |\chi_{[-1,1]}(t)| dt = \int_{-1}^1 |1| dt = 2 < \infty$, por lo tanto $\chi_{[-1,1]} \in L^1$.
2. $\widehat{\chi_{[-1,1]}}(t) = \int_{\mathbb{R}} \chi_{[-1,1]}(t) e^{-2\pi i \omega t} dt = \int_{-1}^1 e^{-2\pi i \omega t} dt$. Haciendo uso de la identidad de Euler:

$$\int_{-1}^1 e^{i(-2\pi \omega t)} dt = \int_{-1}^1 \cos(-2\pi \omega t) + i \sin(-2\pi \omega t) dt$$

tomando en cuenta la paridad de las funciones (y que la integral de una función impar en un intervalo simétrico es nula):

$$\dots = \int_{-1}^1 \cos(2\pi \omega t) dt - i \underbrace{\int_{-1}^1 \sin(2\pi \omega t) dt}_{=0 \text{ por imparidad}} = \frac{\sin(2\pi \omega t)}{2\pi \omega} \Big|_{-1}^1 = \frac{\sin(2\pi \omega)}{\pi \omega}$$

3. Para probar que $\widehat{\chi_{[-1,1]}}(t) \notin L^1$, basta probar que $\int_{-\infty}^{+\infty} |\widehat{\chi_{[-1,1]}}(t)(\omega)| d\omega$ diverge. Para ello se considera que:

$$\int_{-\infty}^{+\infty} |\widehat{\chi_{[-1,1]}}(t)(\omega)| d\omega \geq \int_0^{+\infty} |\widehat{\chi_{[-1,1]}}(t)(\omega)| d\omega.$$

Dada la continuidad de $\widehat{\chi_{[-1,1]}}(t) = \frac{\sin(2\pi\omega)}{\pi\omega}$, es posible hacer la siguiente descomposición:

$$\begin{aligned} \int_0^{+\infty} \left| \frac{\sin(2\pi\omega)}{\pi\omega} \right| d\omega &= \lim_{n \rightarrow \infty} \sum_{k=1}^n \int_{k-1}^k \left| \frac{\sin(2\pi\omega)}{\pi\omega} \right| d\omega \\ &= \lim_{n \rightarrow \infty} \sum_{k=1}^n \int_{k-1}^k \frac{|\sin(2\pi\omega)|}{\pi\omega} d\omega \\ &\geq \lim_{n \rightarrow \infty} \sum_{k=1}^n \int_{k-1}^k \frac{|\sin(2\pi\omega)|}{\pi k} d\omega \\ &= \frac{1}{\pi} \lim_{n \rightarrow \infty} \sum_{k=1}^n \frac{1}{k} \underbrace{\int_{k-1}^k |\sin(2\pi\omega)| d\omega}_{= \frac{2}{\pi} (*)} \\ &= \frac{2}{\pi^2} \lim_{n \rightarrow \infty} \sum_{k=1}^n \frac{1}{k} = \infty, \end{aligned}$$

donde (*) resulta de integrar $|\sin(2\pi\omega)|$ sobre un periodo cualquiera de la función, y la divergencia proviene de la divergencia de la serie armónica.

TAREA 5. Veamos por partes:

1. Denotemos como $f(t) = e^{-t^2}$ y $g(t) = (1+t^2)^{-1}$. En primer lugar, es fácil notar que las derivadas de $f(t)$ son la misma función multiplicadas por un polinomio (*regla de la cadena*). Cada nueva derivada aumenta en un grado el grado del polinomio respectivo, pues la derivada del exponente es $-2t$. Luego se puede escribir $f^{(n)}(t) = f(t)P_n(t)$, con P_n el polinomio de grado n respectivo. Entonces:

$$\lim_{|t| \rightarrow \infty} t^p D^q f(t) = \lim_{|t| \rightarrow \infty} t^p P_q(t) f(t) = \lim_{|t| \rightarrow \infty} \widehat{P}_{p+q}(t) f(t) = \lim_{|t| \rightarrow \infty} \frac{\widehat{P}_{p+q}(t)}{e^{t^2}} = 0 \quad \forall p, q \in \mathbb{N}_0,$$

lo último debido a que la exponencial crece más rápido que cualquier polinomio en $t \rightarrow \infty$. En segundo lugar, para probar que $g \notin \mathcal{C}^\infty(\mathbb{R}, \mathbb{C})$, basta mostrar que existe alguna combinación de $p, q \in \mathbb{N}_0$ tales que $t^p D^q g(t) \rightarrow 0$ no se satisface. Veamos para $p = 3$ y $q = 1$:

$$\lim_{|t| \rightarrow \infty} \frac{t^3}{1+t^2} \rightarrow \infty,$$

lo que completa la demostración.

2. Utilizando la notación de multi-índices para $\alpha, \beta \in \mathbb{N}_0^n$, se quiere probar que los siguientes dos conjuntos:

$$\mathcal{C}_1^\infty(\mathbb{R}^n, \mathbb{C}) = \left\{ f \in \mathcal{C}^\infty(\mathbb{R}^n, \mathbb{C}) : x^\alpha D^\beta f(x) \rightarrow 0, \text{ cuando } \|x\|_2 \rightarrow 0, \quad \forall \alpha, \beta \in \mathbb{N}_0^n \right\} \quad (3)$$

$$\mathcal{S}(\mathbb{R}^n, \mathbb{C}) = \left\{ f \in \mathcal{C}^\infty(\mathbb{R}^n, \mathbb{C}) : \|f\|_{\alpha, \beta} = \sup_{x \in \mathbb{R}^n} |x^\alpha D^\beta f(x)| < \infty, \quad \forall \alpha, \beta \in \mathbb{N}_0^n \right\} \quad (4)$$

corresponden a definiciones equivalentes del mismo conjunto. Partamos de $\mathcal{C}_1^\infty(\mathbb{R}^n, \mathbb{C})$. Desde la definición del límite, notar que $\forall \epsilon$ existe un $M(\epsilon)$ tales que:

$$|x^\alpha D^\beta f(x)| < \epsilon, \text{ cuando } \|x\|_2 < M(\epsilon).$$

Adicionalmente puesto que $x^\alpha D^\beta f$ es continua en $[-M, M]$, por el Teorema de Weierstrass [2], esta debe alcanzar su máximo en tal intervalo. Entonces:

$$|x^\alpha D^\beta f(x)| \leq \max \left\{ \epsilon, \max_{x \in [-M(\epsilon), M(\epsilon)]} |x^\alpha D^\beta f(x)| \right\} < \infty, \quad \forall x \in \mathbb{R}^n,$$

que es equivalente a (4). Partamos ahora de $\mathcal{S}(\mathbb{R}^n, \mathbb{C})$ (el cual existe y es finito). En primer lugar, denotemos a $\sup_{x \in \mathbb{R}^n} |x^\alpha D^\beta f(x)| = C_{\alpha, \beta}$. Si se define $\alpha + 1 = (\alpha_1 + 1, \alpha_2 + 1, \dots, \alpha_n + 1)$, entonces:

$$\text{Si } \sup_{x \in \mathbb{R}^n} |x^{\alpha+1} D^\beta f(x)| < \infty \Rightarrow |x^{\alpha+1} D^\beta f(x)| \leq C_{\alpha+1, \beta} < \infty \Rightarrow |x^\alpha D^\beta f(x)| \leq \frac{C_{\alpha+1, \beta}}{|x_1 \cdots x_n|},$$

para todo $x \in \mathbb{R}$. Y luego (usando el Teorema de Acotamiento [3]):

$$\lim_{\|x\|_2 \rightarrow 0} \frac{C_{\alpha+1,\beta}}{|x_1 \cdots x_n|} = 0 \implies x^\alpha D^\beta f(x) \rightarrow 0 \text{ cuando } \|x\|_2 \rightarrow 0, \forall \alpha, \beta \in \mathbb{N}_0^n,$$

que es la definición en (3).

3. Se quiere probar que $\mathcal{S}(\mathbb{R}^n, \mathbb{C})$ es un espacio normado completo. Para ello se definen las operaciones $(+, \cdot)$ de forma usual, dando estructura de espacio vectorial a $(\mathcal{S}(\mathbb{R}^n, \mathbb{C}), +, \cdot)$. Se verifica en primer lugar que $\|\cdot\|_{\alpha,\beta}$ es una norma ($a \in \mathbb{C}$, y $f, g \in \mathcal{S}(\mathbb{R}^n, \mathbb{C})$):

a) $(\|a \cdot f\|_{\alpha,\beta} = |a| \|f\|_{\alpha,\beta})$. Sigue directamente de la definición:

$$\|a \cdot f\|_{\alpha,\beta} = \sup_{x \in \mathbb{R}^n} \left| x^\alpha D^\beta a f(x) \right| = \sup_{x \in \mathbb{R}^n} \left| a x^\alpha D^\beta f(x) \right| = |a| \sup_{x \in \mathbb{R}^n} \left| x^\alpha D^\beta f(x) \right| = |a| \|f\|_{\alpha,\beta}$$

b) $(\|f + g\|_{\alpha,\beta} \leq \|f\|_{\alpha,\beta} + \|g\|_{\alpha,\beta})$. Sigue directamente de la linealidad de la derivada D^β :

$$\begin{aligned} \|f + g\|_{\alpha,\beta} &= \sup_{x \in \mathbb{R}^n} \left| x^\alpha D^\beta (f(x) + g(x)) \right| = \sup_{x \in \mathbb{R}^n} \left| x^\alpha D^\beta f(x) + x^\alpha D^\beta g(x) \right| \\ &\leq \sup_{x \in \mathbb{R}^n} \left\{ \left| x^\alpha D^\beta f(x) \right| + \left| x^\alpha D^\beta g(x) \right| \right\} \\ &= \sup_{x \in \mathbb{R}^n} \left| x^\alpha D^\beta f(x) \right| + \sup_{x \in \mathbb{R}^n} \left| x^\alpha D^\beta g(x) \right| = \|f\|_{\alpha,\beta} + \|g\|_{\alpha,\beta} \end{aligned}$$

c) $(\|f\|_{\alpha,\beta} = 0 \Leftrightarrow f \equiv 0)$. Esta requiere un poco más de tratamiento. Notar que $\|f\|_{\alpha,\beta} = 0 \Leftrightarrow x^\alpha D^\beta f(x) = 0 \forall x \in \mathbb{R}^n$. Luego para todo $x \neq 0$ se debe cumplir $D^\beta f(x) = 0$, y dada la continuidad de $f \in \mathcal{S}(\mathbb{R}^n, \mathbb{C}) \subset C^\infty(\mathbb{R}^n, \mathbb{C})$, entonces $D^\beta f(x) = 0 \forall x \in \mathbb{R}^n$ y se deduce que f tiene estructura polinomial. Ya que $f(x) \rightarrow 0$ para $\|x\|_2 \rightarrow \infty$, la única posibilidad es que $f \equiv 0$.

Para verificar completitud, se definen sucesiones de Cauchy $\{f_k\}$ de funciones $f_k \in \mathcal{S}(\mathbb{R}^n, \mathbb{C})$, i.e:

$$\forall \epsilon, \exists p, q \in \mathbb{N} \text{ con } p, q > N : \|f_p - g_q\|_{\alpha,\beta} < \epsilon.$$

Se debe verificar que $\{f_k\}$ converge en el mismo $\mathcal{S}(\mathbb{R}^n, \mathbb{C})$, respecto a la norma $\|\cdot\|_{\alpha,\beta}$. Si se fijan los múltiple índices (α, β) , la sucesión $\{x^\alpha D^\beta f_k\}$ es Cauchy respecto a la norma uniforme, entonces debe haber una función límite $f_{\alpha,\beta}$ (con convergencia puntual) tal que:

$$\lim_{k \rightarrow \infty} x^\alpha D^\beta f_k(x) = f_{\alpha,\beta}(x) \text{ puntualmente,}$$

la cual implica la convergencia $\lim_{k \rightarrow \infty} x^\alpha D^\beta f_k = f_{\alpha,\beta} \in \mathcal{S}(\mathbb{R}^n, \mathbb{C})$.

4. Sean $f, g \in \mathcal{S}(\mathbb{R}, \mathbb{C})$. Verifiquemos en primer lugar que $f \cdot g \in \mathcal{S}(\mathbb{R}, \mathbb{C})$. Para ello se hace uso de la *regla generalizada de Leibniz* [1]:

$$D^n (f(t)g(t)) = \sum_{k=0}^n \binom{n}{k} f^{(k)}(t) g^{(n-k)}(t) \quad (5)$$

Ocupando ahora (5), se verifica la definición (*equivalente*) de $\mathcal{S}(\mathbb{R}, \mathbb{C})$:

$$\begin{aligned} \lim_{|t| \rightarrow \infty} t^p D^q (f(t)g(t)) &= \lim_{|t| \rightarrow \infty} t^p \sum_{k=0}^q \binom{q}{k} f^{(k)}(t) g^{(q-k)}(t) \\ &= \lim_{|t| \rightarrow \infty} \sum_{k=0}^q \binom{q}{k} t^p f^{(k)}(t) g^{(q-k)}(t) \\ &\stackrel{(\#)}{=} \sum_{k=0}^q \binom{q}{k} \lim_{|t| \rightarrow \infty} \underbrace{t^p f^{(k)}(t)}_{\rightarrow 0} \underbrace{g^{(q-k)}(t)}_{\rightarrow 0} = 0 \quad \forall p, q \in \mathbb{N}_0, \end{aligned}$$

donde (#) es posible pues cada límite existe, y además son nulos pues $f^{(k)}, g^{(q-k)} \in \mathcal{S}(\mathbb{R}, \mathbb{C})$.

Para verificar que $f * g \in \mathcal{S}(\mathbb{R}, \mathbb{C})$, se toman en cuenta tres resultados: 1) Que el producto $f \cdot g \in \mathcal{S}(\mathbb{R}, \mathbb{C})$ (recien probado), 2) Que la transformada de Fourier mapea $\mathcal{S}(\mathbb{R}, \mathbb{C})$ en sí mismo (resultado de TAREA 6.), y 3) lo siguiente:

$$\begin{aligned}
 \widehat{f * g}(\omega) &= \int_{\mathbb{R}} \left(\int_{\mathbb{R}} f(y) g(x-y) dy \right) e^{-2\pi i \omega x} dx \\
 &= \int_{\mathbb{R}} \left(\int_{\mathbb{R}} f(y) g(x-y) e^{-2\pi i \omega x} dy \right) dx \\
 &= \int_{\mathbb{R}} \left(\int_{\mathbb{R}} f(y) g(x-y) e^{-2\pi i \omega x} dx \right) dy \\
 &= \int_{\mathbb{R}} \left(\int_{\mathbb{R}} g(x-y) e^{-2\pi i \omega x} dx \right) f(y) dy \quad (z = x-y) \\
 &= \int_{\mathbb{R}} \left(\int_{\mathbb{R}} g(z) e^{-2\pi i \omega(z+y)} dz \right) f(y) dy \\
 &= \int_{\mathbb{R}} \left(\int_{\mathbb{R}} g(z) e^{-2\pi i \omega z} dz \right) f(y) e^{-2\pi i \omega y} dy \\
 &= \int_{\mathbb{R}} f(y) e^{-2\pi i \omega y} dy \cdot \int_{\mathbb{R}} g(z) e^{-2\pi i \omega z} dz = \widehat{f}(\omega) \cdot \widehat{g}(\omega).
 \end{aligned}$$

Entonces como $f, g \in \mathcal{S}(\mathbb{R}, \mathbb{C}) \Rightarrow \widehat{f}, \widehat{g} \in \mathcal{S}(\mathbb{R}, \mathbb{C})$, y luego $\widehat{f * g} = \widehat{f} \cdot \widehat{g} \in \mathcal{S}(\mathbb{R}, \mathbb{C})$, se concluye lo pedido.

5. En primer lugar, notar que para que una función f (integrable) pertenezca al espacio $L^p(\mathbb{R}, \mathbb{C})$, debe satisfacer:

$$\|f\|_{L^p} = \left(\int_{\mathbb{R}} |f(x)|^p dx \right)^{\frac{1}{p}} < \infty \quad \text{para } 1 \leq p < \infty.$$

Se procede entonces mediante la siguiente construcción:

$$\int_{\mathbb{R}} |f(x)|^p dx = \int_{\mathbb{R}} ((1+x^2)|f(x)|)^p \frac{1}{(1+x^2)^p} dx.$$

Dado que $f \in \mathcal{S}(\mathbb{R}, \mathbb{C})$ entonces $(1+x^2)f(x)$ está acotado, y $\frac{1}{(1+x^2)^p} \leq \frac{1}{1+x^2} \in L^1(\mathbb{R}, \mathbb{C})$ para $p \geq 1$. Entonces:

$$\int_{\mathbb{R}} |f(x)|^p dx \leq \|f\|_{2,0}^p \int_{\mathbb{R}} \frac{1}{1+x^2} dx < \infty,$$

donde $\|f\|_{\alpha,\beta} = \sup_{x \in \mathbb{R}^n} |x^\alpha D^\beta f(x)|$. El caso $p = \infty$ se sigue directamente de $f \in \mathcal{S}(\mathbb{R}, \mathbb{C})$:

$$\|f\|_{L^\infty} = \sup_{x \in \mathbb{R}} |f(x)| < \infty.$$

Otra forma de *entender* porqué esta inclusión es verdad es el siguiente argumento: Para cada función $f \in L^p(\mathbb{R})$ existe una función *por partes* h_n , tal que $\|h_n(x) - f(x)\|_2 \rightarrow 0$ con $n \rightarrow \infty$ ($\forall x$ i.e. convergencia puntual) y entonces $\|h_n - f\|_{L^p} \rightarrow 0$ para $n \rightarrow \infty$. Dado que h_n puede ser *continuamente aproximada* por funciones de soporte compacto *suaves* ($C_c^\infty(\mathbb{R})$), y que $C_c^\infty(\mathbb{R})$ es denso en $\mathcal{S}(\mathbb{R})$, entonces se concluye $\mathcal{S}(\mathbb{R}) \subset L^p(\mathbb{R})$.

TAREA 6. Sea $f \in \mathcal{C}_1^\infty(\mathbb{R}, \mathbb{C})$, se quiere demostrar que:

$$(2\pi i \gamma)^p D^q \widehat{f}(\gamma) = [D^p (-2\pi i x)^q f(x)]^\wedge \quad \forall p, q \in \mathbb{N}_0. \quad (6)$$

Para ello se definen las siguientes dos proposiciones:

$$\mathbf{P}_1(p): (2\pi i \gamma)^p \widehat{f}(\gamma) = [D^p f(x)]^\wedge \quad \forall p \in \mathbb{N}_0$$

$$\mathbf{P}_2(q): D^q \widehat{f}(\gamma) = [(-2\pi i x)^q f(x)]^\wedge \quad \forall q \in \mathbb{N}_0,$$

cuyos casos bases (derivados en [4]) son respectivamente:

$$(p=1): (2\pi i \gamma) \widehat{f}(\gamma) = [D f(x)]^\wedge \quad (7)$$

$$(q=1): D \widehat{f}(\gamma) = [(-2\pi i x) f(x)]^\wedge. \quad (8)$$

Probemos cada una por inducción. Para \mathbf{P}_1 se tiene:

$$\begin{aligned}(2\pi i\gamma)^{p+1}\widehat{f}(\gamma) &= (2\pi i\gamma)(2\pi i\gamma)^p\widehat{f}(\gamma) \\ &= (2\pi i\gamma)[D^p f(x)]^\sim \\ &\stackrel{(\#)}{=} [D(D^p f(x))]^\sim \\ &= [D^{p+1} f(x)]^\sim,\end{aligned}$$

donde en $(\#)$ se usó la hipótesis inductiva (7). Se procede de igual modo para \mathbf{P}_2 :

$$\begin{aligned}D^{q+1}\widehat{f}(\gamma) &= D[D^q\widehat{f}(\gamma)] \\ &= D_\gamma[(-2\pi ix)^q f(x)]^\sim \\ &\stackrel{(\#)}{=} [(-2\pi ix)(-2\pi ix)^q f(x)]^\sim \\ &= [(-2\pi ix)^{q+1} f(x)]^\sim,\end{aligned}$$

donde en $(\#)$ se usó la hipótesis inductiva (8). Como $\mathbf{P}_1(p) \Rightarrow \mathbf{P}_1(p+1)$, y $\mathbf{P}_2(q) \Rightarrow \mathbf{P}_2(q+1)$, se han demostrado entonces ambas proposiciones. Luego, se puede proceder como sigue:

$$(2\pi i\gamma)^p D^q \widehat{f}(\gamma) \stackrel{\mathbf{P}_2}{=} (2\pi i\gamma)^p [(-2\pi ix)^q f(x)]^\sim \stackrel{\mathbf{P}_1}{=} [D^p (-2\pi ix)^q f(x)]^\sim,$$

lo que completa la prueba de (6).

Para la segunda parte, notar que aplicando valor absoluto a (6) se obtiene:

$$\begin{aligned}|\gamma^p D^q \widehat{f}(\gamma)| &= \frac{1}{(2\pi)^p} \left| \int_{\mathbb{R}} (-2\pi i)^q D_x^p x^q e^{-2\pi i\gamma x} dx \right| \\ &\leq (2\pi)^{q-p} \int_{\mathbb{R}} |D_x^p x^q f(x)| dx \\ &= (2\pi)^{q-p} \|D_x^p x^q f(x)\|_{L^1} < \infty,\end{aligned}$$

puesto que $f \in \mathcal{C}_1^\infty(\mathbb{R}, \mathbb{C}) \Rightarrow D^p x^q f \in \mathcal{C}_1^\infty(\mathbb{R}, \mathbb{C})$ y que $\mathcal{C}_1^\infty(\mathbb{R}, \mathbb{C}) \subset L^1(\mathbb{R}, \mathbb{C})$. Entonces como $\widehat{f} \in \mathcal{C}^\infty(\mathbb{R}, \mathbb{C})$ y satisface $|\gamma^p D^q \widehat{f}(\gamma)| < \infty$, se concluye que $\widehat{f} \in \mathcal{C}_1^\infty(\mathbb{R}, \mathbb{C})$, i.e, la transformada de Fourier mapea $\mathcal{C}_1^\infty(\mathbb{R}, \mathbb{C})$ en sí mismo.

TAREA 7. Se listan a continuación algunos ejemplos de funciones $f \in \mathcal{C}_C^\infty(\mathbb{R}, \mathbb{C})$ (la extensión a varias variables se muestra a continuación):

1. Un ejemplo clásico es la función *bump*, definida como:

$$\psi(x) = \begin{cases} e^{\frac{1}{x^2-1}} & |x| < 1 \\ 0 & |x| \geq 1, \end{cases}$$

cuya gráfica se ve en Figura 1. Esta puede ser fácilmente extendida a otros intervalos de compacidad:

$$\widehat{\psi}(x) = \begin{cases} e^{\frac{1}{(x-a)^2-1}} & |x| < r \\ 0 & |x| \geq r, \end{cases}$$

que tiene soporte compacto en $[a-r, a+r]$ con $a, r \in \mathbb{R}$.

2. Otra construcción interesante considera a la función $f(x) = e^{\frac{-1}{x}}$, cuya “gracia” es que está en $\mathcal{C}^\infty(\mathbb{R})$ y $f(0) = 0$. Con esta es posible definir:

$$\phi(x) = \frac{f(x)}{f(x) - f(1-x)} \tag{9}$$

la cual también pertenece a $\mathcal{C}^\infty(\mathbb{R})$, pero además $\phi(0) = 0$ y $\phi(1) = 1$. Entonces una función de soporte compacto se puede construir como sigue:

$$\psi(x) = \begin{cases} 0 & x \leq 0 \\ \phi(x) & 0 < x < 1 \\ 1 & 1 \leq x \leq a \\ \phi(-(x-[a+1])) & a < x < a+1 \\ 0 & x \geq a+1 \end{cases}$$

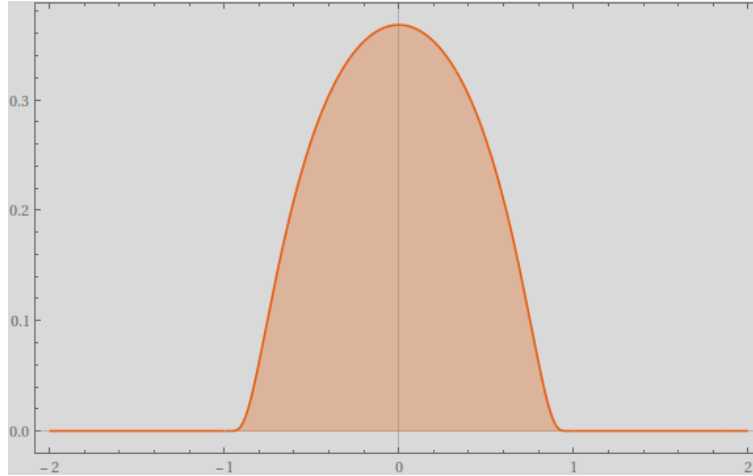


Figura 1: Gráfico de función *bump* clásica.

donde $a \in \mathbb{R}$ (> 1). Que básicamente consiste en poner la “copia” invertida de ϕ (respecto al eje y) y trasladada a la derecha en $a + 1$, y definiendo el valor de la función en el intervalo intermedio $[1, a]$ como 1 para asegurar la continuidad. En la Figura 2 se muestra esta construcción con $a = 2$.

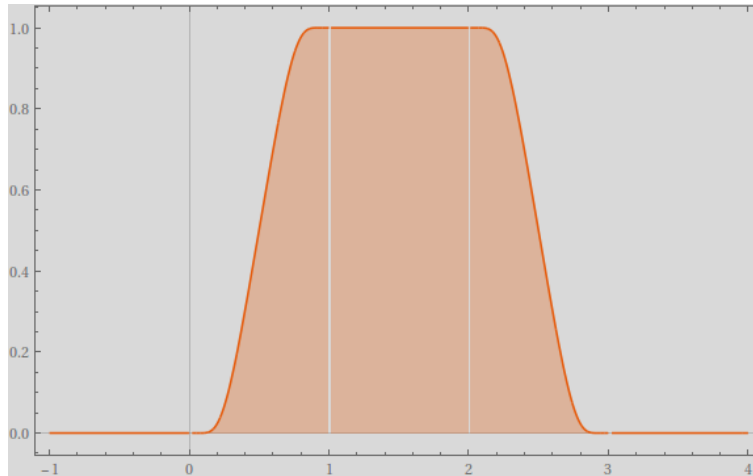


Figura 2: Construcción de función de soporte compacto.

Notar que la misma construcción puede realizarse siguiendo el mismo procedimiento y usando (9), pero con alguna otra función f que cumpla $f \in \mathcal{C}^\infty(\mathbb{R})$ y $f(0) = 0$.

Por último, dada una función $\psi \in \mathcal{C}_c^\infty(\mathbb{R}, \mathbb{C})$ con soporte $[a, b]$ y $a, b \in \mathbb{R}$, esta puede ser fácilmente extendida a una función $\in \mathcal{C}_c^\infty(\mathbb{R}^n, \mathbb{C})$, bajo la siguiente construcción:

$$\Phi(x_1, x_2, \dots, x_n) = \psi(x_1) \psi(x_2) \cdots \psi(x_n), \quad (10)$$

cuyo soporte compacto es $[a, b] \times \overset{\text{veces}}{n-2} \times [a, b] = [a, b]^n$. En la Figura 3 se muestra tal construcción para la función *bump* clásica en dos variables.

TAREA 8. Sea $f \in \mathcal{C}_c^\infty(\mathbb{R}, \mathbb{C})$ una función con soporte compacto $\text{supp}(f) \subset [a, b] \subset [0, T]$ ($0 < a < b < T$), con la respectiva prolongación periódica (de periodo T)

$$g(x) = \sum_{n \in \mathbb{Z}} f(x - nT), \quad x \in \mathbb{R}. \quad (11)$$

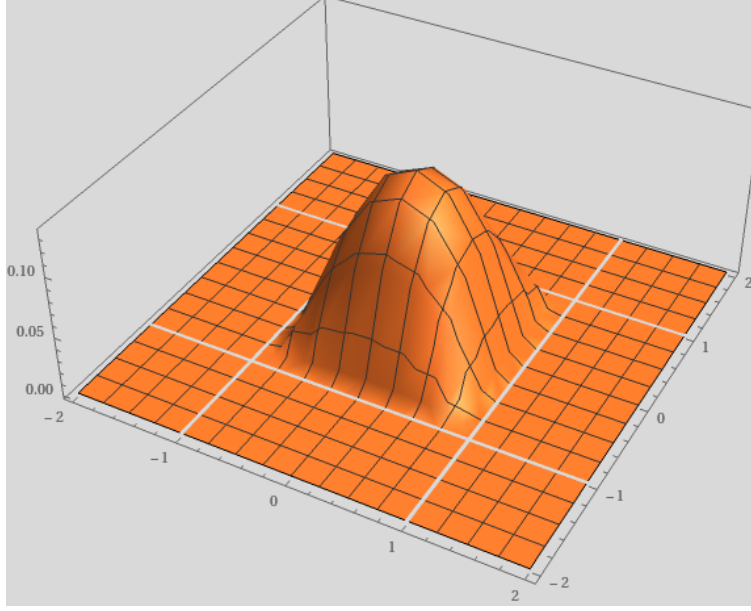


Figura 3: Gráfico de función *bump* clásica en dos variables.

Considerando la norma uniforme $\|f\|_\infty := \sup_{x \in \mathbb{R}} |f(x)|$. Como ya probamos anteriormente (Weierstrass):

$$f \in \mathcal{C}_1^\infty(\mathbb{R}, \mathbb{C}) \Rightarrow 0 \leq \|f\|_\infty < \infty.$$

Debido a la construcción de la prolongación periódica (11), se sabe que no existen traslapes entre las *copias* de f en los distintos periodos. Entonces:

$$\|g\|_\infty = \sup_{x \in \mathbb{R}} |g(x)| = \sup_{x \in \mathbb{R}} \left| \sum_{n \in \mathbb{Z}} f(x - nT) \right| \stackrel{(\#)}{=} \sup_{x \in \mathbb{R}} |f(x - nT)| \quad (\forall n \in \mathbb{Z}) = \sup_{x \in \mathbb{R}} |f(x)| = \|f\|_\infty < \infty$$

donde (#) es posible, pues como se hizo notar, todas las copias de f son iguales y sin traslapes. Puesto que $\|g\|_\infty < \infty$, se comprueba entonces la convergencia de la serie.

TAREA 9. Se analiza cada punto por parte.

a,b) Sea $f \in L^1 \cap L^2$, entonces $\mathcal{F}(f) = \hat{f}(\omega) = \int_{-\infty}^{\infty} f(t) e^{-i\omega t} dt \leq \int_{-\infty}^{\infty} |f(t)| dt < \infty$ está bien definido. Luego, notar que aplicando la operación de conjugación se obtiene:

$$\overline{\hat{f}(\omega)} = \overline{\int_{-\infty}^{\infty} f(t) e^{-i\omega t} dt} = \int_{-\infty}^{\infty} \overline{f(t)} e^{i\omega t} dt \stackrel{t \rightarrow -t'}{=} \int_{-\infty}^{\infty} \overline{f(-t')} e^{-i\omega t'} (-dt') = \int_{-\infty}^{\infty} \overline{f(-t')} e^{-i\omega t'} dt'.$$

Sea $g(t) = \overline{f(-t)}$ ($g \in L^1 \cap L^2$ también), entonces $\overline{\hat{f}(\omega)} = \hat{g}(\omega)$. Además, como se demostró anteriormente:

$$\widehat{f * g}(\omega) = \hat{f}(\omega) \cdot \hat{g}(\omega) = \hat{f}(\omega) \cdot \overline{\hat{f}(\omega)} = |\hat{f}(\omega)|^2. \quad (12)$$

Luego haciendo uso de (12) se procede como sigue:

$$\int_{-\infty}^{\infty} |\hat{f}(\omega)|^2 d\omega = \int_{-\infty}^{\infty} \widehat{f * g}(\omega) e^{i\omega x} d\omega \Big|_{x=0} \quad (13)$$

$$= \mathcal{F}^{-1}(\widehat{f * g})(0) = (f * g)(0) \quad (14)$$

$$= \int_{-\infty}^{\infty} f(t) g(0 - t) dt = \int_{-\infty}^{\infty} f(t) \overline{f(t)} dt \quad (15)$$

$$= \int_{-\infty}^{\infty} |f(t)|^2 dt < \infty. \quad (16)$$

Esto último prueba los dos puntos: $\|f\|_2 = \|\hat{f}\|_2$ y que $\hat{f} \in L^2$.

Referencias

- [1] Regla Generalizada de Leibniz. https://en.wikipedia.org/wiki/General_Leibniz_rule. Visitado: 23-05-2016.
- [2] Teorema de Weierstrass. https://en.wikipedia.org/wiki/Extreme_value_theorem. Visitado: 23-05-2016.
- [3] Teorema del Acotamiento. https://en.wikipedia.org/wiki/Squeeze_theorem. Visitado: 23-05-2016.
- [4] H. Dym and H.P McKean. *Fourier Series and Integrals*. Academic Press, New York, 1972.